

Фазовая диаграмма комплексов ионов Ni^{2+} с полиU полиA полиU

В. А. Сорокин, В. А. Валеев, Е. Л. Усенко

Физико-технический институт низких температур им. Б. И. Веркина НАН Украины
Пр. Ленина, 47, Харьков, Украина, 61103

sorokin@ilt.kharkov.ua

Цель. Изучить влияние ионов Ni^{2+} на конформационное равновесие трехцепочечного полинуклеотида полиU полиA полиU и определить термодинамические параметры образования металлокомплексов. **Методы.** Дифференциальная УФ-спектроскопия и термическая денатурация. **Результаты.** Получены зависимости конформационных переходов (T_m) полиU полиA полиU (A2U) от концентрации ионов Ni^{2+} (до 0,001 M) в условиях, близких к физиологическим (0,1 M Na^+ , pH 7). При $[\text{Ni}^{2+}] < 3 \cdot 10^{-4}$ M на фазовой диаграмме наблюдаются две ветви, соответствующие переходам A2U – полиA полиU (AU) + полиU (3–2) и AU – полиA + полиU (2–1). При более высоких концентрациях Ni^{2+} и нагревании A2U реализуется только переход A2U – полиU + полиA + полиU (3–1). Оценены эффективные константы связывания ионов Ni^{2+} с AU (850 M^{-1}) и A2U (1300 M^{-1}) и энталпия перехода 3–2 ($\Delta H = 4 \pm 1 \text{ ккал/моль триплет}$). **Выходы.** С помощью теории равновесного связывания установлена термодинамическая природа качественно различного поведения (T_m) на фазовой диаграмме AU в присутствии ионов Mg^{2+} и Ni^{2+} , обнаруженного нами ранее: большее различие между сродством магния к A2U и AU по сравнению с различием между сродством к AU и полиA приводит к понижению (T_m) 3–2, тогда как противоположное соотношение в константах связывания для ионов Ni^{2+} – к ее повышению.

Ключевые слова: полинуклеотиды, ионы металлов, конформационные переходы.

Введение. В настоящее время установлено, что трехнитчатые олиго- и полинуклеотиды обладают биологической функциональностью [1–3]. Это делает актуальным изучение их комплексов с ионами переходных металлов, загрязнение окружающей среды которыми может, в принципе, приводить (при неблагоприятных условиях) к нарушению нормального функционирования биологических макромолекул [4–6].

Цель настоящей работы состояла в изучении влияния ионов Ni^{2+} и температуры на конформационное состояние трехнитчатого полинуклеотида полиU полиA полиU (A2U) при содержании в рас-

творе 0,1 M Na^+ – концентрации, близкой к суммарной внутриклеточной концентрации ионов Na^+ и K^+ [7]. Ранее такую информацию мы получили для комплексов A2U с ионами Cd^{2+} [8]. Подобно последним ионы Ni^{2+} увеличивают количество мутаций при транскрипции ДНК животного и растительного происхождения, а также ингибируют специфическое ДНК-белковое узнавание, что может быть причиной канцерогенеза [4–6]. Можно отметить также, что никель (наряду с хромом) имеет наиболее высокий индекс канцерогенности (21), принятый за единицу для алюминия [9].

Материалы и методы. Растворы калиевой соли полиреборидиловой кислоты (полиU) («Серва», ФРГ) и натриевой соли двухнитчатого поли-

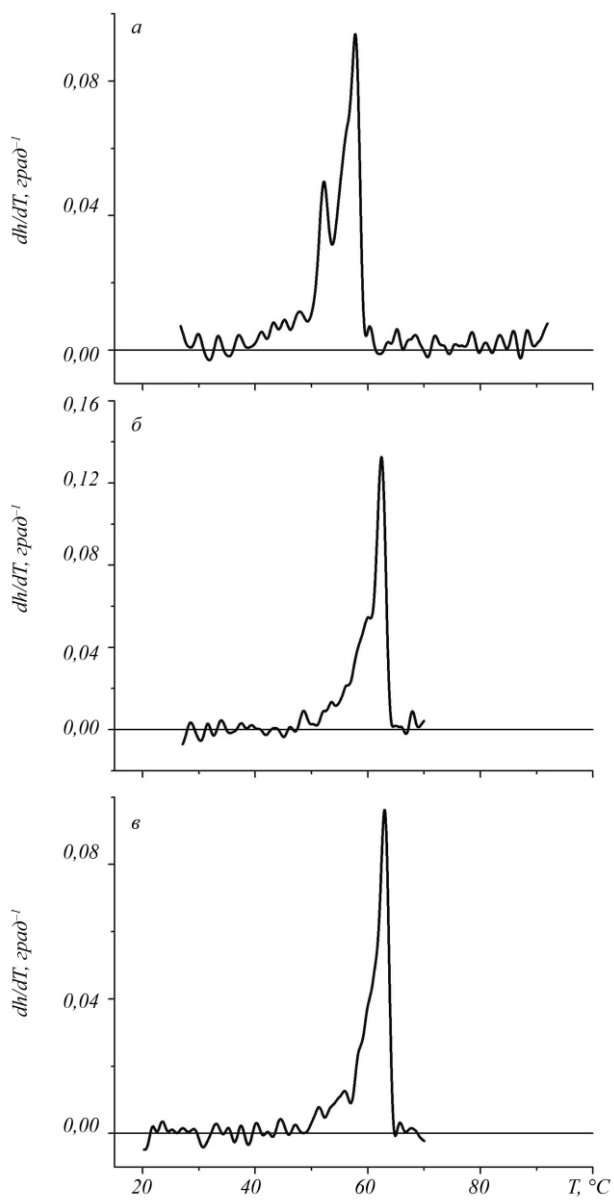


Рис. 1. Дифференциальные кривые плавления A2U ($0,1 \text{ M Na}^+$, pH 7): $a - [\text{Ni}^{2+}] = 0$; $b - 2,3 \cdot 10^{-4} \text{ M Ni}^{2+}$; $c - 3 \cdot 10^{-4} \text{ M Ni}^{2+}$

нуклеотида полиAполиU («Sigma Chemical Company», США) смешивали для получения A2U по методу, описанному в [8]. Соль $\text{NiCl}_2 \cdot 6\text{H}_2\text{O}$ марки х. ч. («Реахим», РФ), как и полинуклеотиды, дополнительной очистке не подвергали.

Температуры конформационных переходов (T_m) в отсутствие и в присутствии ионов Ni^{2+} различной концентрации в растворах, содержащих $0,001 \text{ M}$ какодилат натрия (pH 7) и $0,099 \text{ M NaCl}$,

измеряли на спектрофотометре Specord UVVIS (ФРГ).

Величины T_m определяли по положению максимумов на дифференциальных кривых плавления (ДКП), то есть на температурных зависимостях производных $dH(T)/dT$ при $= 38500 \text{ см}^{-1}$ (положение максимума на УФ-спектре A2U). ДКП (рис. 1) рассчитывали на персональном компьютере по формуле: $h(T) = A(T)/A_{T_0}$, где $A(T)$ – изменение поглощения раствора A2U, индуцированное нагреванием; A_{T_0} – его поглощение при комнатной температуре $T_0 = 22 \pm 2$ С. Концентрацию фосфора AU и полиU (P), равную $(1,2) \cdot 10^{-5} \text{ M}$, определяли по коэффициенту молярной экстинкции в максимуме УФ-поглощения ($_{261} = 9600 \text{ M}^{-1}\text{cm}^{-1}$ для полиU и $_{260} = 7140 \text{ M}^{-1}\text{cm}^{-1}$ для AU; индекс – положение максимума на УФ-спектрах в нм). Концентрацию ионов Ni^{2+} ($[\text{Ni}^{2+}]$) находили комплексонометрическим методом. Ошибка измерения P и $[\text{Ni}^{2+}]$ не превышала 0,5 % [8].

Результаты и обсуждение. В работе сделана попытка измерить изменение спектра поглощения A2U в диапазоне $(30 \text{--} 46) \cdot 10^3 \text{ см}^{-1}$, индуцированное ионами Ni^{2+} , при $T = T_0$. Однако, как и в присутствии ионов Cd^{2+} [8], оно обнаружено не было вплоть до концентрации $\text{Ni}^{2+} 0,001 \text{ M}$. Этот результат свидетельствует об отсутствии внутрисферных координационных связей с гетероатомами азотистых оснований A2U не только для ионов Cd^{2+} [8], но и для ионов Ni^{2+} . Обусловлено это, по-видимому, тем, что потенциально возможные для связывания атомы N7 и N1 полиA, а также N3 двух цепей полиU включены в систему водородных связей, а взаимодействие никеля с O2 и O4 полиуридиловых нитей A2U (рис. 2) не реализуется из-за очень слабого сродства его ионов к этим атомам [10].

В соответствии с данными [9, 11–13], нагревание A2U в отсутствие ионов Mg^{2+} индуцирует два последовательных процесса (рис. 1). Первый интенсивный максимум на дифференциальной кривой плавления соответствует отделению от A2U одной нити полиU (U_2) (рис. 2), то есть реализации перехода A2U $\text{AU} + \text{U}$ (переход 3 \rightarrow 2), второй интенсивный максимум – плавлению AU, то есть более кооперативному переходу 2 \rightarrow 1 ($\text{U} + \text{AU} \rightleftharpoons \text{U} + \text{A} + \text{U}$). При повышении концентрации никеля

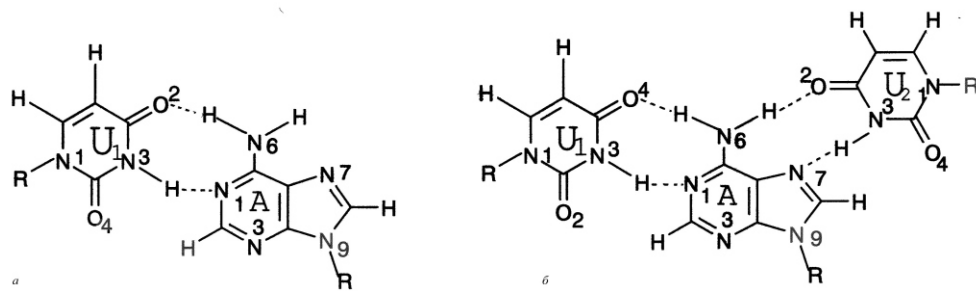


Рис. 2. Структура триплета U-A-U [8]. Пара (U₁-A) – уотсон-криксовская; (A-U₂) – обратная хугстиновская

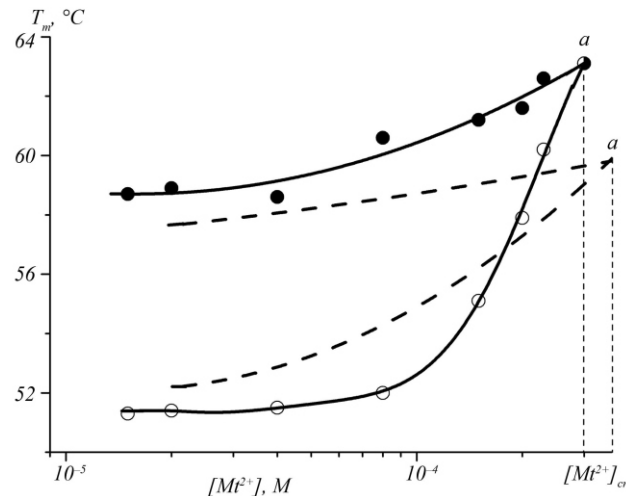


Рис. 3. Фазовая диаграмма комплекса ионов Ni^{2+} с A2U (0,1 М Na^+ , pH 7). Экспериментальные значения T_m показаны значками: \circ – $(T_m)_{3-2}$; \bullet – $(T_m)_{2-1}$; сплошные линии – экспериментальные концентрационные зависимости, рассчитанные по методу наименьших квадратов; штриховая линия – фазовая диаграмма комплекса A2U + Cd²⁺ [8]; « a » – «критические» точки

различие между температурами обоих переходов уменьшается и при $\sim 3 \cdot 10^{-4}$ М Ni^{2+} (рис. 3) оно, если и существует, то находится в пределах экспериментальной ошибки. Таким образом, точку « a » на фазовой диаграмме комплексов A2U + Ni^{2+} (рис. 3) можно интерпретировать как «критическую» ($T_{\text{mer}} = 63,1$ °C). При $[\text{Ni}^{2+}] = [\text{Ni}^{2+}]_{\text{cr}}$ плавление A2U становится одностадийным, то есть реализуется переход A2U \rightarrow A + U + U (переход 3 \rightarrow 1). Нам не удалось получить зависимость $(T_m)_{3-1}$ от $[\text{Ni}^{2+}]$ при концентрациях, превышающих $3 \cdot 10^{-4}$ М, из-за появления расщепления света в этой области концентраций, искажавшего форму кривых плавления.

Можно отметить, что хотя форма фазовых диаграмм комплексов A2U с ионами Ni^{2+} и Cd^{2+} несколько отличается, значения критических концентраций для обоих ионов разнятся не более чем на 15 % (рис. 3).

В работах [14, 15] нами показано, что особенности формы фазовых диаграмм металлокомплексов двух- и трехнитчатых полинуклеотидов могут быть качественным, а иногда и количественным образом объяснены в рамках теории равновесного связывания. Согласно этой теории, при стехиометрии комплекса, соответствующей связыванию одного иона с парой фосфатов, характерной для связывания ионов M^{2+} с полианионами различной структуры [9, 14, 15], температура перехода (T_m) из конформации « a » в конформацию « b » определяется выражением

$$(T_m)_{ab} = (T_{m_0})_{ab} \left(\frac{T_m}{T_{m_0}} \right)^{1/2} \quad (1)$$

$$(T_{m_0})_{ab} = B \ln E - B \ln F;$$

для перехода 3 \rightarrow 2

$$\begin{aligned} E_{3-2} &= \frac{(1 - K_{A2U} / A_f)^{1/2}}{(1 - K_{AU} / A_f)^{1/2}}; \\ F_{3-2} &= \frac{(1 - K_{A2U} / A_f)^{1/2}}{(1 - K_U / A_f)^{1/2}}; \end{aligned} \quad (2)$$

для перехода 2 \rightarrow 1

$$\begin{aligned} E_{2-1} &= \frac{(1 - K_{AU} / A_f)^{1/2}}{(1 - K_A / A_f)^{1/2}}, \\ F_{2-1} &= \frac{(1 - K_{AU} / A_f)^{1/2}}{(1 - K_U / A_f)^{1/2}}, \end{aligned} \quad (3)$$

где $(T_m)_{ab} = (T_m - T_{m_0})_{ab}$ – изменение температуры перехода полинуклеотида, индуцированное ионами M^{2+} ; a, b – соответственно начальная и новая

Таблица 1

Эффективные константы связывания (M^{-1}) ионов Mg^{2+} и Ni^{2+} с полинуклеотидами, содержащими аденин и урацил ($0,1 \text{ M } \text{Na}^+$, $pH 7$)

Ион	AU	A2U	polyA	polyU
Mg^{2+} [14]	345	1000	200	250
Ni^{2+}	$850 \pm 50^*$	$1300 \pm 100^*$	200	250

*Получены расчетом по формулам (1), (3) и (4).

Таблица 2

Начальные температуры (T_{m_0}) и энталпии (H) конформационных переходов в AU [17] и A2U

Параметр	Переход			
	3 → 2	2 → 1	3 → 1	2 → 3
T_{m_0} , С	$50,3 \pm 2^{***}$	$58^{***}; 57^{**}$	59^{**}	59^{**}
H	4,1 ккал/моль триплет*	8,2 ккал/моль пар [11]	12,7 ккал/моль триплет [11]	4,2 ккал/моль пар [11]

*Значение энталпии, полученное в настоящей работе по формулам (1) и (2); ** T_{m_0} для AU; *** T_{m_0} для A2U.

конформации полинуклеотида; $B = RT_{m_0}T_m / H$, где T_m – температура перехода в новую конформацию половины звеньев полинуклеотида; $T_{m_0} = T_m$ при $[\text{M}^{2+}] = 0$; H – энталпия соответствующего конформационного перехода; K – константы связывания ионов с соответствующими полинуклеотидами; A_f – концентрация свободных ионов.

Формулы (1)–(3) могут быть, в принципе, использованы для расчета неизвестных констант связывания ионов Ni^{2+} с AU и A2U в предположении, что значения K_A и K_U (табл. 1) для Mg^{2+} и Ni^{2+} одинаковы. Анализ этих значений K для магния, полученных различными авторами [16], показал, что наилучшим образом линейным зависимостям логарифма K_A и K_U от логарифма концентрации ионов Na^+ соответствуют данные работы [8]. Поэтому именно их (табл. 1) мы использовали для расчета констант связывания ионов Ni^{2+} с AU и A2U. При этом в формулах (2) и (3) произведения $K A_f$ были заменены на произведения $K [\text{Ni}^{2+}]$. Расчет показывает, что при $K = 10^3 \text{ M}^{-1}$ различие между $[\text{Ni}^{2+}]$ и A_f составляет около 0,5 %, то есть не превышает ошибки определения $[\text{Ni}^{2+}]$. Во всей области концентраций ионов при расчетах по формулам (1)–(3) в произведении $T_{m_0} T_m$ использованы экспериментальные значения этих температур (табл. 2, рис. 3). При расчете K_{AU} по формулам (1), (3) применили экспериментальную величину $H_{2 \rightarrow 1}$ (табл. 2). Однако расчет константы связывания ионов Ni^{2+} с

A2U по формулам (1) и (2) затруднен из-за очень большого разброса значений (H)_{3 → 2}, полученных различными авторами (от 2 до 8 ккал/моль триплет) [3]. В связи с этим K_{A2U} была определена по зависимости $(T_m)_{3 \rightarrow 1}$ (температура перехода 3 → 1) от $[\text{Ni}^{2+}]$ на фазовой диаграмме AU, полученной нами ранее в [17]. В этом случае

$$E_{3 \rightarrow 1} = \frac{(1 - K_{A2U} A_f)^{1/3}}{(1 - K_A A_f)^{1/3}};$$

$$F_{3 \rightarrow 1} = \frac{(1 - K_{A2U} A_f)^{2/3}}{(1 - K_U A_f)^{2/3}}. \quad (4)$$

При расчете K_{A2U} по формулам (1), (4) использовали достаточно надежно определенное экспериментально значение $H_{3 \rightarrow 1}$ (табл. 2). Значения K_{AU} и K_{A2U} подбирали таким образом, чтобы разница между экспериментальными и расчетными величинами T_m не превышала (0,5–1 С) во всем диапазоне концентраций никеля для соответствующего конформационного перехода.

Как видно из табл. 1, для ионов Ni^{2+} K_{A2U} на 30 % выше, чем для ионов Mg^{2+} [14]. Такое различие находится в пределах разброса экспериментальных значений K для комплексов ионов металлов с полинуклеотидами, полученных различными авторами в сопоставимых условиях [16]. В связи с этим можно считать этот результат подтверждающим кулоновскую природу взаимодействия ионов Ni^{2+} с

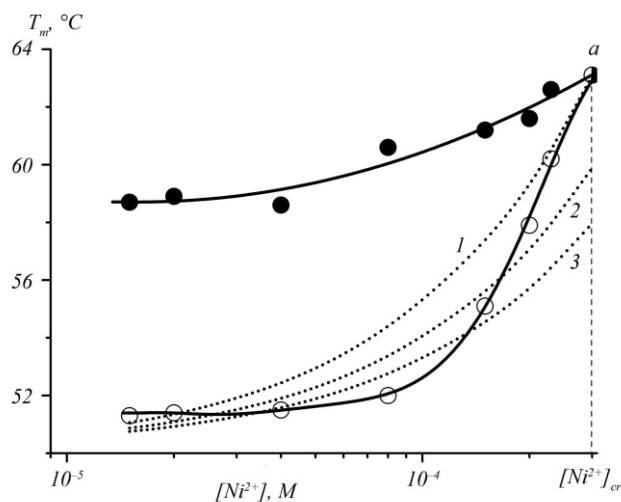


Рис. 4. Фазовая диаграмма комплекса ионов Ni^{2+} с A2U ($0,1 \text{ M Na}^+$, pH 7). Обозначения те же, что на рис. 3. Пунктирные линии – концентрационные зависимости $(T_m)_3$ 2, рассчитанные по формулам (1) и (2): 1 – $H = 3$; 2 – $H = 4$; 3 – $H = 5$ ккал/моль триплет

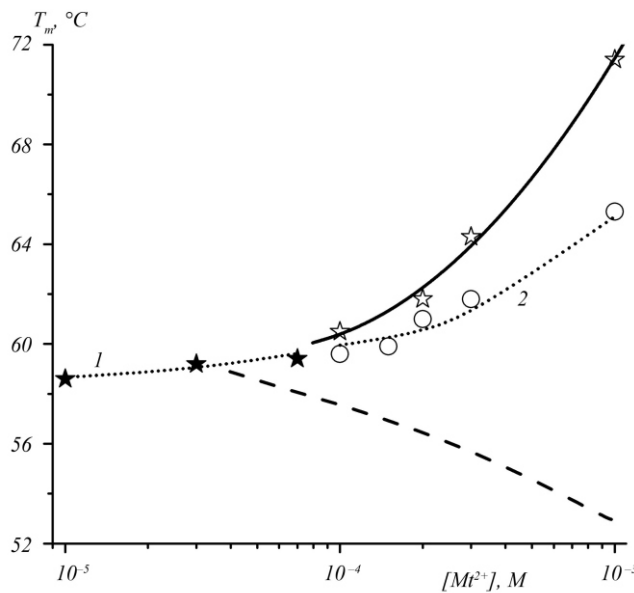


Рис. 5. Сравнение экспериментальной [17] и теоретической фазовых диаграмм комплекса ионов Ni^{2+} с AU ($0,1 \text{ M Na}^+$, pH 7). Экспериментальные значения T_m показаны значками: \star – $(T_m)_{2\ 1}$; \circ – $(T_m)_{2\ 3}$; \times – $(T_m)_{3\ 1}$; сплошная линия – экспериментальная концентрационная зависимость $(T_m)_{3\ 1}$, рассчитанная по методу наименьших квадратов (такие линии для переходов 2 1 и 2 3 не показаны, так как они совпадают с рассчитанными по формулам (1), (3) и (5); пунктирные линии: 1 – переход 2 1; 2 – переход 2 3); штриховая линия – экспериментальная концентрационная зависимость $(T_m)_{2\ 3}$ для комплекса AU + Mg^{2+} [14]

A2U. Разница в значении K_{AU} для ионов Ni^{2+} и Mg^{2+} (соответственно 850 и 345 M^{-1} – табл. 1) существенно больше. Это может быть связано, во-первых, с различием в кулоновском взаимодействии гидратированных ионов никеля и магния с фосфатами AU и, во-вторых, с дополнительной внешнесферной координацией ионов Ni^{2+} с N7 AU, при которой они связаны с N7 аденинов через молекулу воды. При образовании водородных связей соединениями, содержащими азот, сдвиги полос поглощения малы [18] и потому ДУФС могут не регистрироваться.

Используя полученные для Ni^{2+} значения K_{A2U} и K_{AU} , была рассчитана концентрационная зависимость $(T_m)_3$ 2 для A2U. Из рис. 4 видно, что описать всю концентрационную зависимость $(T_m)_3$ 2 при одном значении $(H)_3$ 2 невозможно. Однако, согласно рис. 4, ее величина должна находиться в диапазоне между 3 и 5 ккал/моль триплет. Эти величины значительно сужают интервал неопределенности значений $(H)_3$ 2 [3]. Кроме того, полученный результат согласуется со значением энталпии перехода 3 2, равным 5 ккал/моль триплет, найденным для комплексов ионов Cd^{2+} с A2U в работе [8]. Из формул (1)–(3) видно также, что различие в значениях $H_{2\ 1}$ и $H_{3\ 2}$ является постоянным фактором появления «критических» точек на фазовых диаграммах A2U в присутствии не только двухвалентных, но и одновалентных ионов металлов [11].

Полученные в настоящей работе данные позволяют установить термодинамическую природу качественно различного поведения $(T_m)_{2\ 3}$ на фазовой диаграмме AU в присутствии ионов Mg^{2+} и Ni^{2+} , обнаруженного нами ранее [17]. Согласно данным рис. 5, ионы Mg^{2+} понижают эту температуру, тогда как ионы Ni^{2+} – повышают. Другими словами, в отличие от ионов Mg^{2+} , расширяющих область существования трехнитчатой A2U, ионы Ni^{2+} ее сужают, соответственно увеличивая границы стабильного состояния двухнитчатой AU.

В соответствии с теорией [14] в случае перехода 2 3:

$$E_{2\ 3} = \frac{(1 - K_{\text{AU}} A_f)^{1/2}}{(1 - K_{\text{A2U}} A_f)^{1/2}};$$

Таблица 3

Концентрационная зависимость составляющих изменения температур конформационных переходов (C) комплекса ($AU + Ni^{2+}$), рассчитанная по формулам (1), (3)–(5)

[Ni ²⁺], M	Переход											
	2 1				3 1				2 3			
	BlnE	BlnF	(T_m) _{theor}	(T_m) _{exp}	BlnE	BlnF	(T_m) _{theor}	(T_m) _{exp}	BlnE	BlnF	(T_m) _{theor}	(T_m) _{exp}
10 ⁻⁵	0,09	0,08	0,17	0,1	–	–	–	–	–	–	–	–
10 ⁻⁴	0,6*	0,5*	1,1*	0,9*	0,6	1,1	1,7	1,1	-1	1,6	0,6	0,2
10 ⁻³	–	–	–	–	3,9	7,2	11,1	12	-5,8	11,5	5,7	5,9

*Значение (T_m)_{2 1}, соответствующее [Ni²⁺]_{cr} = 7 10⁻⁵ M на фазовой диаграмме AU + Ni²⁺. При большей концентрации ионов этот переход отсутствует.

$$F_{2 \rightarrow 3} = \frac{(1 - K_{AU} / A_f)^{1/2}}{(1 - K_A / A_f)^{1/2}}. \quad (5)$$

Концентрационные зависимости (T_m)_{2 3} рассчитывали по формулам (1) и (5) для ионов Mg²⁺ и Ni²⁺. В первом случае использовали экспериментальные значения K , во-втором – значения K_{A2U} и K_{AU} , найденные в настоящей работе (табл. 1). Значения (T_m)_{2 3} и (H)_{2 3} для AU приведены в табл. 2. Из рис. 5 видно, что расчетная и экспериментальная зависимости (T_m)_{2 3} практически совпадают.

Из табл. 3 и 4 следует, что интегральный эффект изменения (T_m)_{2 3} обусловлен суммой противоположных по знаку членов: $BlnE < 0$, так как $K_{AU} < K_{A2U}$, и $BlnF > 0$, поскольку $K_{AU} > K_A$ (табл. 1). Таким образом, в соответствии с полученными нами данными отличие в поведении (T_m)_{2 3} в присутствии ионов Mg²⁺ и Ni²⁺ связано с тем, что в первом случае $|BlnE| > |BlnF|$ (табл. 4), тогда как для ионов Ni²⁺ величина дестабилизирующей составляющей суммы меньше стабилизирующей (табл. 3).

Из данных табл. 4 следует также, что доминирующими фактором сужения области стабильного состояния двухнитчатой конформации на фазовых диаграммах металлокомплексов (и, следовательно, расширения трехнитчатой) в присутствии ионов Mg²⁺ является большее различие между их сродством к A2U и AU по сравнению с различием между сродством к AU и полиA. Соответственно противоположные соотношения в различии констант связывания ионов Ni²⁺ с полинуклеотидами приводят к противоположному влиянию на равновесие между трех- и двухнитчатыми спиралями (рис. 5, табл. 3).

Казалось бы, подобная ситуация должна наблюдаться и в присутствии ионов Cd²⁺. Однако они, как и ионы Mg²⁺, понижают (T_m)_{2 3} [19]. Можно предположить наличие дополнительной дестабилизации AU ионами Cd²⁺ за счет образования ими координационных связей с атомами азота аденина однонитчатой полиA, которое в двойной спирале AU может быть затруднено для ионов Cd²⁺ по тем же причинам, что и для ионов Ni²⁺. Однако справедливость этого предположения требует дополнительного исследования.

В итоге проведенные вычисления позволяют установить термодинамическую природу наблюдаемых в опыте зависимостей и для переходов 2 1, 3 1, 3 2. Используя данные табл. 1 и 2, рассчитаны концентрационные зависимости (T_m)_{2 1} для AU в присутствии ионов Mg²⁺ и Ni²⁺. Расчет дает практически полное совпадение с экспериментальными зависимостями. Так, в области малых концентраций ионов Mg²⁺ и Ni²⁺ опыт и расчет (табл. 3, 4; рис. 4, 5) показывают очень слабую зависимость (T_m)_{2 1} от содержания ионов. Согласно формуле (3), это связано с тем, что в таком случае произведения K_{AU} , K_A и K_U на A_f много меньше единицы и соответственно (T_m)_{2 1} мало отличаются от нуля.

Исходя из формул (2) и (4) повышение температур переходов 3 2 и 3 1 в присутствии обоих ионов обусловлено тем, что $K_{A2U} > K_{AU}$, а также K_U и K_A . Возрастание (T_m)_{2 1}, наблюдаемое на фазовой диаграмме комплекса ионов Ni²⁺ с A2U (рис. 4), обусловлено выполнением условия $K_{AU} > K_U$ и K_A .

Существенно, что полученные в работе эффективные значения K и H являются самосогласован-

Таблица 4

Концентрационная зависимость составляющих изменения температур конформационных переходов (C) комплекса ($AU + Mg^{2+}$), рассчитанная по формулам (1), (3)–(5)

[Mg ²⁺], M	Переход											
	2 1				3 1				2 3			
	BlnE	BlnF	(T_m) _{theor}	(T_m) _{exp}	BlnE	BlnF	(T_m) _{theor}	(T_m) _{exp}	BlnE	BlnF	(T_m) _{theor}	(T_m) _{exp}
10 ⁻⁵	0,02	0,01	0,03	-0,7	-	-	-	-	-	-	-	-
10 ⁻⁴	0,09*	0,06*	0,15*	0,3*	0,5	0,9	1,4	1,4	-1,7	0,4	-1,3	-1,8
10 ⁻³	-	-	-	-	2,9	5,4	8,3	7,9	-10,4	3	-7,4	-6,2

*Значение (T_m)_{2 1}, соответствующее $[Mg^{2+}]_{cr} = 5 \cdot 10^{-5}$ M на фазовой диаграмме AU + Mg²⁺. При большей концентрации ионов этот переход отсутствует.

ными, хотя и найдены из независимых экспериментальных данных.

Несмотря на то, что вышеизложенные результаты носят в основном фундаментальный характер, они могут быть, в принципе, использованы при решении задач, связанных с регуляцией стабильности многоцепочечных структур полинуклеотидов ионами металлов.

Выводы. 1. Показана принципиальная возможность оценки параметров комплексообразования и конформационных переходов в полинуклеотидах с помощью фазовых диаграмм с неопределенностью, не превышающей экспериментальную. Впервые рассчитаны константы связывания ионов никеля с AU и A2U.

2. На фазовых диаграммах AU + Mt²⁺ основным фактором расширения области существования трехнитчатой A2U в присутствии ионов Mg²⁺ является большее различие в их сродстве к A2U и AU по сравнению с различием в сродстве к AU и полиA. Противоположные соотношения в значениях констант связывания ионов Ni²⁺ с полинуклеотидами приводят к расширению области существования двухнитчатой AU в присутствии последних.

3. Данные ДУФС свидетельствуют о том, что структура жестких многоцепочечных полинуклеотидов, образованных как уотсон-криковскими, так и хугстиновскими AU-парами, не позволяет d-ионам (ионам, имеющим d-электроны на внешних орбиталах) формировать внутрисферные координационные связи с гетероатомами аденина и урацила вплоть до очень больших концентраций ионов. Следствием этого является конформационная и

термическая устойчивость соответствующих пар и триплетов по отношению к таким ионам.

V. A. Sorokin, V. A. Valeev, E. L. Usenko

Phase diagram of Ni²⁺ ions complexes with polyUpolyApolypolyU

Summary

Aim. To investigate Ni²⁺ ion effect on the conformational equilibrium of the three-stranded polynucleotide polyUpolyApolypolyU and to ascertain thermodynamic parameters of the metal complex formation. **Methods.** The differential UV spectroscopy and thermal denaturation. **Results.** Dependences of conformational transition (T_m) of poly UpolyApolypolyU (A2U) on Ni²⁺ ion concentration (up to 0.001 M) under conditions close to physiological ones (0.1 M Na⁺, pH 7) were obtained. At $[Ni^{2+}] < 3 \cdot 10^{-4}$ M two branches are observed in the phase diagram, corresponding to A2U polyApolypolyU (AU) + polyU (3 2) and AU polyA + polyU (2 1) transitions. Only A2U polyU + polyA + polyU (3 1) transition is realized at higher Ni²⁺ concentrations and upon A2U heating. Effective binding constants are determined for Ni²⁺ ions with AU ($850 M^{-1}$) and A2U ($1300 M^{-1}$) as well as 3 2 transition enthalpy ($H_3 2 = 4 \pm 1$ kcal/mol triplet). **Conclusions.** By the equilibrium binding theory the thermodynamic nature of (T_m)_{2 3} different behavior in the phase diagram of AU in the presence of Mg²⁺ and Ni²⁺ ions was determined. A larger difference of the magnesium affinity to A2U and AU as compared with that to AU and polyA results in (T_m)_{2 3} decrease whereas the opposite ratio of Ni²⁺ ion binding constants induces its increasing.

Keywords: polynucleotides, metal ions, conformational transitions.

B. O. Сорокін, В. О. Валеев, Є. Л. Усенко

Фазова діаграма комплексів іонів Ni²⁺ з поліUполіAполіU

Резюме

Мета. Вивчити вплив іонів Ni²⁺ на конформаційну рівновагу триланцюгового полінуклеотиду поліUполіAполіU та визначити термодинамічні параметри утворення металокомплексів. **Методи.** Диференційна УФ-спектроскопія і термічна денатурація. **Результатами.** Отримано залежності конформаційних переходів (T_m) поліUполіAполіU (A2U) від концентрації іонів Ni²⁺ (до 0,001 M) за умов, близьких до фізіологічних (0,1 M Na⁺),

$pH 7$). При $[Ni^{2+}] < 3 \cdot 10^{-4} M$ на фазовій діаграмі спостерігаються дві гілки, що відповідають переходам $A2U$ полі A полі U (AU) + полі U (3 : 2) та AU полі A + полі U (2 : 1). При вищих концентраціях Ni^{2+} і нагріванні $A2U$ реалізується лише переход $A2U$ полі U + полі A + полі U (3 : 1). Оцінено ефективні константи зв'язування іонів Ni^{2+} з AU ($850 M^{-1}$) і $A2U$ ($1300 M^{-1}$) та енталпію переходу 3 : 2 ($H_3^+ 2 = 4 \pm 1$ ккал/моль триплет). **Висновки.** З використанням теорії рівноважного зв'язування з'ясовано термодинамічну природу якісно різної поведінки $(T_m)_2$, на фазовій діаграмі AU за присутності іонів Mg^{2+} і Ni^{2+} , що виявлено нами раніше: більша різниця між спорідненістю магнію до $A2U$ і AU у порівнянні з різницею між спорідненістю до AU і полі A спричиняє зниження $(T_m)_2$, тоді як протилежне співвідношення у константах зв'язування для іонів Ni^{2+} – її підвищення.

Ключові слова: полінуклеотиди, іони металів, конформаційні переходи.

СПИСОК ЛИТЕРАТУРЫ

- Field A. K. Oligonucleotides as inhibitors of human immunodeficiency virus // Curr. Opin. Mol. Ther. –1999.–1.–P. 323–331.
- Giovannangeli C., Rougee M., Garestier T., Thuong N. T., Helene C. Triple-helix formation by oligonucleotides containing the three bases thymine, cytosine and guanine // Proc. Nat. Acad. Sci. USA. –1992.–89, N 18.–P. 8631–8635.
- Plum G. E., Pilch D. S., Singleton S. C., Brestlauer K. J. Nucleic acid hybridisation: triplex stability and energetic // Annu. Rev. Biophys. and Biomol. Struct. –1995.–24.–P. 319–350.
- Coogan T. P., Latta D. M., Imbra R. J., Costa M. Effect of nickel (II) on DNA-protein interactions // Biol. Trace Elem. Res. –1989.–21, N 3.–P. 13–21.
- Dally H., Hartwig A. Induction and repair inhibition of oxidative DNA damage by nickel(II) and cadmium(II) in mammalian cells // Carcinogenesis. –1997.–18, N 5.–P. 1021–1026.
- Hartwig A. Recent advances in metal carcinogenicity // Pure Appl. Chem. –2000.–72, N 6.–P. 1007–1014.
- Saenger W. Principles of nucleic acid structure.–New York: Springer, 1984.–584 p.
- Sorokin V. A., Valeev V. A., Usenko E. L., Blagoi Yu. P. Effect of Cd^{2+} ions on conformational equilibrium of three-stranded polyUpolyApolypolyU polynucleotide under near-physiological conditions // Biopolymers and Cell. –2007.–23, N 5.–P. 433–440.
- Andronikashvili E. L. Malignization and change of some physico-chemical properties of biomacromolecules and supramolecular structures // Biophysics. –1987.–32, N 5.–P. 782–799.
- Aoki K. Nucleosides, nucleotides and metal ions // Metalloproteins: Chemical properties and biological effects / Eds S. Otsuka, T. Yamanaka.–Amsterdam etc.: Elsevier, 1988.–P. 457–490.
- Krakauer H., Sturtevant J. M. Heats of the helix-coil transition of the polyA-polyU complexes // Biopolymers. –1968.–6, N 4.–P. 491–512.
- Krakauer H. A thermodynamic analysis of the influence of simple mono- and divalent cations on the conformational transitions of polynucleotide complexes // Biochemistry. –1974.–13, N 12.–P. 2579–2589.
- Clump H. H. Energetics of order /order transition in nucleic acids // Can. J. Chem. –1988.–66.–P. 804–811.
- Sorokin V. A., Valeev V. A., Gladchenko G. O., Degtyar M. V., Karachevtsev V. A., Blagoi Yu. P. Mg^{2+} ion effect on the conformational equilibrium of polyUpolyApolypolyU and polyApolypolyU in aqueous solutions // Int. J. Biol. Macromol. –2003.–31.–P. 223–233.
- Sorokin V. A., Valeev V. A., Gladchenko G. O., Degtyar M. V., Andrus E. A., Karachevtsev V. A., Blagoi Yu. P. Mg^{2+} and Ni^{2+} ion effect on stability and structure of triple polyIpolyApolypolyI helix // Int. J. Biol. Macromol. –2005.–35.–P. 201–210.
- Sorokin V. A., Valeev V. A., Gladchenko G. O., Degtyar M. V., Andrus E. A., Blagoi Yu. P., Karachevtsev V. A. Effect of Mg^{2+} ions on the stability of polyA/2polyU three-stranded helices in aqueous solutions // Macromol. Biosci. –2002.–2, N 4.–P. 155–162.
- Sorokin V. A., Valeev V. A., Usenko E. L. Ni^{2+} ion effect on conformational equilibrium of polynucleotides: polyApolypolyU, polyA and polyU under conditions close to physiological ones // Biopolymers and Cell. –2008.–24, N 2.–P. 158–170.
- Higasi K., Baba H., Rembaum A. Quantum organic chemistry.–New York: Intersci. publ. A division of John Wiley & sons, 1965.–379 p.
- Blagoi Yu. P., Gladchenko G. O., Nafie L. A., Freedman T. B., Sorokin V. A., Valeev V. A., He Ya. Phase equilibrium in poly(rA)poly(rU) complexes with Cd^{2+} and Mg^{2+} ions, studied by ultraviolet, infrared, and vibrational circular dichroism spectroscopy // Biopolymers. –2005.–78, N 5.–P. 275–286.

УДК 577.3

Надійшла до редакції 20.10.08